

II-117 雨水流出シミュレーションの基礎に関する実験的研究

京大防災研究所 正員 石原安雄  
京大防災研究所 正員 ○下島栄一

本研究は、雨水流出現象の水理模型によるシミュレーションを行うための基礎的研究である。流出過程は必ずしも同次元ではないが、降雨遮断・表層部の貯留・流れ（中間流、表面流、河道流など）浸透などの要素により構成される。ここでは、洪水流出に対して支配的と考えられる「流れ」を対象とする。また、「流れ」の現象を支配する力学的要素は種々あるが、特に顕著に作用すると推測できる重力項と摩擦力項を抽出し、抵抗という dominant factor からみた model と prototype との運動系の相似性を論ずる。

1. 多孔性物質の内部および表面における流れの抵抗則

山陵斜面表層という中間流・表面流の運動場を模擬するために、多孔性材料を用いて、流水の抵抗特性を実験的に検討した。

1-1 実験方法

巾 25cm, 長さ 2m の

長方形水路に多孔性物質

(表-1)を張り付け、上流端より段階的に流量一定の給水を行なった。水深の測定は、下流端水路床の内径 2mm の穴に取付けたビュール管と水路側壁の固定したガラス管（注射器）に結び付け、流れが定常状態になった時点で、ガラス管の水面変化ポイントゲージでおこなった。

1-2 実験結果とその考察

図1は、水深と流量の関係を示したものである。多孔性物質内の流れには、毛細管現象も支配的なので流れ自体複雑であって測定を困難なものにしてゐる。が、一定 Darcy 形式の取扱いが出来たときの Forchheimer の抵抗則に従っていることが推定される。

$$q = \left[ \frac{1}{2} \frac{v}{k} + \sqrt{\frac{1}{4} \frac{v^2}{k^2} + 4\alpha i} \right] / 2\alpha i = K(k, \alpha, i) i h \quad (1-1)$$

∴  $i$ : エネルギー勾配,  $k$ : 透水係数,  $\alpha$ : 定数

流量の増大とともに凹凸の多い表面に流れ出した流水の水深・流量の関係は、数学的に連続性を示しながら、流れ場や流れの遷移域を脱す。遷移域の流れは、表層内流れ（Forchheimer則）を示す直線の延長上に凹凸表面の平均的位置に仮想基準面を取り、その面を固定床のように考えた際の Manning 抵抗則に転写する事が認められる。図2は、その様子を示したものである。また、凹凸のない均一厚さをもった多孔性物質(B.C.200)の場合には、表面部を仮想基準面にとるとことが

| 種類     | 厚さ   | 空隙率 | Manning係数  | 会社名          |
|--------|------|-----|------------|--------------|
| SF 10  | 10mm | 92% | 0.025m-sec | 日建工学<br>K.K. |
| SF 20  | 20mm | 96% | 0.021m-sec |              |
| S 10   | 10mm | 91% | 0.021m-sec | 日本バウムコク      |
| BC 200 | 4mm  | -   | 0.014m-sec |              |

表-1 材料特性

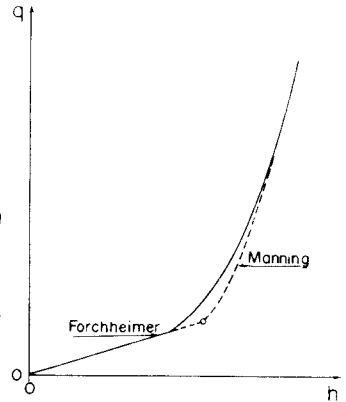


図-1 多孔性物質の表面付近における流れ特性

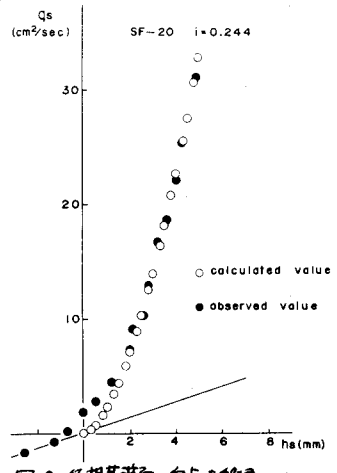


図-2 仮想基準面に原点を移動させたときの水深・流量の関係

できるという結果を得た。図3のうち、遷移域の流況特性を、基準面を原点として換算したManning粗度係数と、そのReynolds数との関係を示したものである。いずれの場合にも、Reynolds数がほぼ800~1000に達して、一定粗度係数の状態へ移行している。この事実は、流体が学的にも興味があり、また、遷移域の流況をある関数(例えば、直線)で近似すれば、出水解析への応用も可能である。なお、漸近の様子は種々であるが、これは、遷移域の複雑さ、それに伴う流れの複雑さ、基準面決定の不正確さ、およびhysteresis現象の問題等に起因しよう。

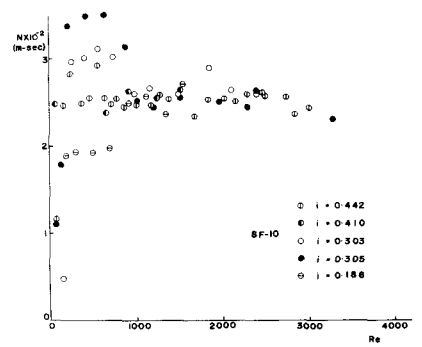


図3 Manning粗度係数とReynolds数との関係

## 2. 抵抗からみた相似則

雨水流出現象は、山腹斜面・河道という運動場の広播過程とみなせる。その中で、少なくとも単位流域という観点に立つと、時空間上現象の連続性を考慮し、中間流・表面流・河道流という現象の部分を統合化した形での運動系の相似を論じなければならぬ。また、雨水の挙動を支配するもの、運動方程式と質量保存式であるから、これら2つの微分方程式に基づいて、両系の物理量の変換群が誘導される。

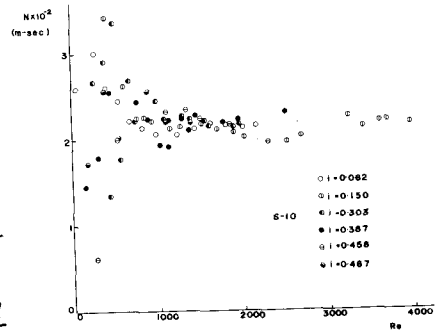


図4 Manning粗度係数とReynolds数との関係

さて、運動方程式で dominant factor と抽出し、抵抗則として Manning 流速公式を用いると、表面流および河道流の運動方程式は、それぞれ次のように表わされる。

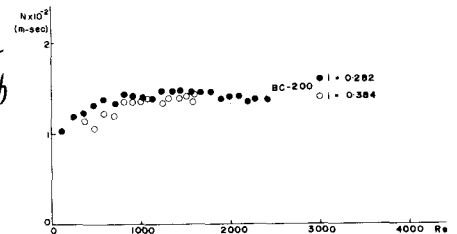


図5 Manning粗度係数とReynolds数との関係

$$\frac{N_i'^2 V_i'^2}{R_i'^{4/3}} = \sin \theta_i' - \frac{\partial h_i'}{\partial x_i'} \cos \theta_i' \quad (2-1)$$

$$\frac{N_{*i}^2 V_{*i}^2}{R_{*i}^{4/3}} = \sin \theta_{*i} - \frac{\partial h_{*i}}{\partial x_{*i}} \cos \theta_{*i} \quad (2-2)$$

すなわち、 $i' = \begin{cases} m: model \\ p: prototype \end{cases}$  であり、また、連続の式は同様である。

$$\frac{\partial h_i'}{\partial t_i'} + \frac{\partial h_i' V_i'}{\partial x_i'} = \gamma \theta_i' \quad (2-3)$$

$$\frac{\partial h_{*i}}{\partial t_{*i}} + \frac{\partial h_{*i} V_{*i}}{\partial x_{*i}} = \gamma_{*i} \quad (2-4)$$

中間流の場合、流水抵抗が流速に比例(Darcy則)すると考え、運動の式、連続の式のそれぞれは、

$$\frac{V_i}{R_i} = \sin \theta_i - \frac{\partial h_i}{\partial x_i} \cos \theta_i \quad (2-5)$$

$$f_i \frac{\partial h_i}{\partial t_i} + \frac{\partial h_i V_i}{\partial x_i} = \gamma \theta_i \quad (2-6)$$

となる。すなわち、 $\rho, \alpha, Z$ ; それぞれ流況方向、水平方向、鉛直方向、 $h$ : 水深、 $A$ : 断面積、 $R$ : 径深、 $V$ : 流速、 $N$ : Manning粗度係数、 $f$ : 透水性係数、 $\gamma$ : 空隙率、 $\gamma \theta$ : 降雨強度、 $t$ : 時間、 $\theta$ : 流況の水平面との角、 $q$ : 河道部への横からの流入強度 を表わす。また、両運動系の物理量の比を以下の様に、suff: x のような同文字で記す。

$$f_m = f \cdot f_p \quad f_i: \text{物理量}, \quad f: \text{相似比} \quad (2-7)$$

なお、河道部横断面幾何学形状を表わすため、径深( $Q$ ), 断面積( $A$ ), 水深( $h$ )を用いて、 $A_x = f(A_x)$ ,  $Y_x = g(Q_x)$  という関数形を導入しておく。表2の式(2-1)~(2-7)の関数式から求められた相似則を示したものである。この表中の $\varepsilon$ は、歪みを表わしている。(  $\varepsilon = z/x$  )

|     | ひすみ模型   |  | ひすまさない模型  |   |   |
|-----|---|--|---|---|---|
|     | $\sin\theta \approx \tan\theta$   | $\cos\theta \approx 1$   | $\sin\theta \approx \frac{z}{x} \cos\theta$   | $\sin\theta \approx \frac{z}{x} \cos\theta$   | $\sin\theta \approx \frac{z}{x} \cos\theta$ |
| 中間流 | $v = x/t$<br>$h = z = \delta x^2 / (tk)$<br>$r_e = (\delta x/t)^2 / k \quad \delta = 1$   | $v = k$<br>$t = \delta x/k$<br>$h = r_e x/k$   | $k = v = r_e = x/t$<br>$h = x$<br>$\delta = 1$  | $h = x(r_e/k)^{1/2}$<br>$v = (r_e k)^{1/2}$<br>$t = \delta x / (r_e k)^{1/2}$   |   |
| 表面流 | $h' = z$<br>$v' = r_e / \varepsilon$<br>$n' = z^{3/2} \varepsilon^{3/2} / r_e$  | $h' = r_e t$<br>$v' = x/t$<br>$n' = r_e^{3/2} t^{3/2} / x$                             | $v' = r_e = x/t$<br>$h' = x$<br>$n' = x^{3/2} / r_e$  | $v' = x/t$<br>$h' = r_e t$<br>$n' = r_e^{3/2} t^{3/2} / x^{3/2}$  |   |
| 河道流 | $h_* = z$<br>$a_* = f^{-1}(z)$<br>$v_* = q_* x / f^{-1}(z) = r_e x^2 / f^{-1}(z)$<br>$r_* = g(f^{-1}(z))$<br>$n_* = g(f^{-1}(z))^{3/2} f^{-1}(z) \varepsilon^{1/2} / r_e x^2$ | $v_* = x/t$<br>$a_* = r_e x t$<br>$r_* = g(r_e x t)$<br>$n_* = g(r_e x t)^{3/2} / x t$ | $h_* = x$<br>$v_* = r_e x^2 / f^{-1}(x)$<br>$a_* = f^{-1}(x)$<br>$r_* = g(f^{-1}(x))$<br>$n_* = f^{-1}(x) g(f^{-1}(x)) / r_e x^2$ | $a_* = r_e x t$<br>$r_* = g(r_e x t)$<br>$h_* = f(r_e x t)$<br>$v_* = x/t$<br>$n_* = t f(r_e x t)^{3/2} g(r_e x t) / x^{3/2}$ |   |

表-2 相似律

### 3. 幾何学的模型流域における相似性

ここで、2. で得られた  $\sin\theta \approx \frac{z}{x} \cos\theta$  の場合の相似律に基づき、具体的な問題と論じる。

#### 3-1 modelの構成

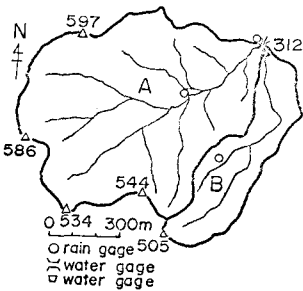
縦横とも縮尺1/100のモデル製の流域模型(野洲川左支川荒川上流部、現地面積0.84km<sup>2</sup>)の1部分の小流域(図bのB流域7.0.18km<sup>2</sup>)の斜面部は、多孔性材料(S-10)を張り付けた表層を形成した。

#### 3-2 実験条件と実験結果

流域模型に、2.65mm/hrの一定強度の降雨を与え、定常状態になってから下限2.65mm/hr, 上限93.5mm/hr, 周期5分の正弦関数形の降雨を与えた。その結果 peak流出強度90mm/hr, peakの遅れ時間30秒という相似則のindexを得た。一方、実流域の中小出水の場合、peakの遅れ時間は、30分程度であり、又、林内降雨強度2mm/hr以下については全部浸透し、残部5%が表層水の流出に関与するものと判明している。このより、現地での観測値を用い、実験のpeak降雨強度( $R_m$ )に対応した現地降雨( $V_p$ )が求められる。

$$V_p = Q_p / Q_m \cdot k_t \cdot z / \delta \cdot R_m / 0.05 + 2 \quad (3-1)$$

ここで、 $Q_p, Q_m$  は、それぞれ現地、模型における peak流出流量。また、 $k_t \approx 3, k_p \approx 3, \delta_m \approx 0.9, \delta_{p,as}$



図b prototypeの流域

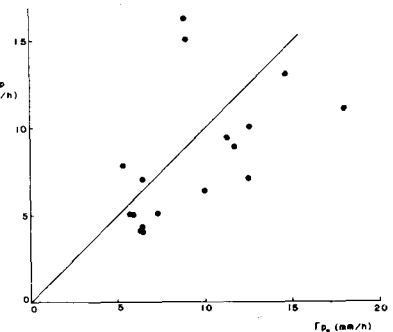


図7  $V_p$ と $R_p$ との関係

なることが判明している。図7は、逆算的に求めた現地降雨( $Y_p$ )と観測降雨( $Y_p$ )との関係を示したものである。観測精度上から、近似的に $Y_p \approx Y_p$ とみなせ、森林性の強い現象となっている。そのゆえ、 $R < Y_e$ となり、 $Y_e$ は一意的に求まらない。

### 3-3 相似性の検討

先に求まる相似性は、任意の値をとることができず、ある拘束条件に支配される。[粗度係数]、河道部で、 $N_{km} \sim N_{kp}$ と考えると、 $1/10 \leq N_* \leq 10$ となり、斜面部粗度は、 $N'_m \sim 10^{-2}$  (m-sec)であり、(表1②)、prototypeは、Palmerの実験より、 $N'_p \sim 10^{-1}$  (m-sec)となるから、 $1/100 \leq n' \leq 1$ と得る。[空隙率・透水係数]は、現象の再現のため、 $\delta_m \sim \delta_p$ 、 $k_m \sim k_p$ が必要と考えられる。また、降雨発生装置時間応答特性と実流域のpeakの遅小時間とを考慮すると、 $\tau = \delta L / a$ の関係より、[時間比]は $1/100 \leq t \leq 1$ と満す必要がある。[表層厚]については、実流域での5~10 cmの表層の存在と数mmの多孔性材料が得られりと仮定すれば、 $h > 1/100$ の条件と得る。[降雨強度]については、現在の降雨給水能力からすると、 $Y_e \leq 10$ となるが、これは確定した拘束条件ではない。

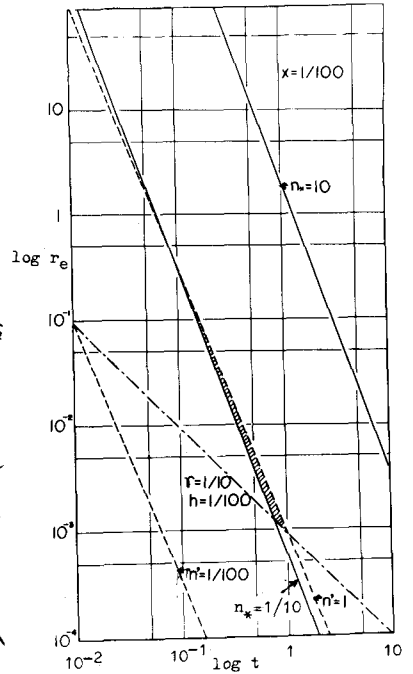


図8 相似性の拘束条件

さて、図8のハ...イは、上の拘束条件を満足すると考えられる実現可能な領域である。3-2の具体例について考えると、領域の1境界である $N_* = 1/10$ と $t = 1/60$ との交点から、 $Y_e > 45$ が必要となり、現在の装置だと不可能である。なお、抵抗を増大させるとという観点から、 $n'$ の境界線の上への移動は可能領域拡大は可能である。現在の装置を用いる場合、 $Y_e \leq 10$ 、 $N_* > 1/10$ であるから、少なくとも $t > 1/34$ と満す $k_m$ 、 $\delta_m$ の材料選定が必要となる。なお、中間流・河道流のみを対象とすることができず比較的小出水の場合、次の相似則が成立する。

$$k=1, \quad x=1/100, \quad \delta=1.8, \quad t=1/60$$

また、 $N_{kp} = 0.03 \sim 0.08$  (m-sec)、 $N_{km} = 0.02$  (m-sec)とすれば、中間流に対する有効降雨強度比は、 $Y_e = 2.3 \times 10^2 \sim 1.22 \times 10^3$ となり、本実験のpeak降雨強度 $93.5 \text{ mm/h}$ は、実流域の $3.5 \text{ mm/h} \sim 10.2 \text{ mm/h}$ の降雨に対応することがわかる。空間的スケールの問題、hysteresis現象に起因する問題等も考えられるが、以上のことから、降雨発生装置給水能力の増大、および、表層表面抵抗の増大などを検討すれば、シミュレーションの可能性が見い出される。

(参考文献)

- 石原, 長尾, 小葉竹; 荒川流出試験地の流域特性; 京大防災研年報才11号, 昭和43.
- 石原, 小葉竹; 山地流域における直接流出の生起過程; 京大防災研年報才12号, 昭和44
- 下島; 雨水流出シミュレーションの基礎に関する実験的研究; 京大修士論文, 昭和46.